

## ОБ ОДНОМ МЕТОДЕ РЕШЕНИЯ ЗАДАЧ НА СУЩЕСТВОВАНИЕ ДЛЯ ТРЕУГОЛЬНИКОВ

В нашей работе предлагается общий подход к решению широкого класса задач на существование треугольников, обладающих определенной комбинацией свойств. Важными отличительными свойствами предлагаемого подхода являются его универсальность и высокая наглядность получаемых результатов.

В процессе работы мы использовали систему компьютерной алгебры «Maple».

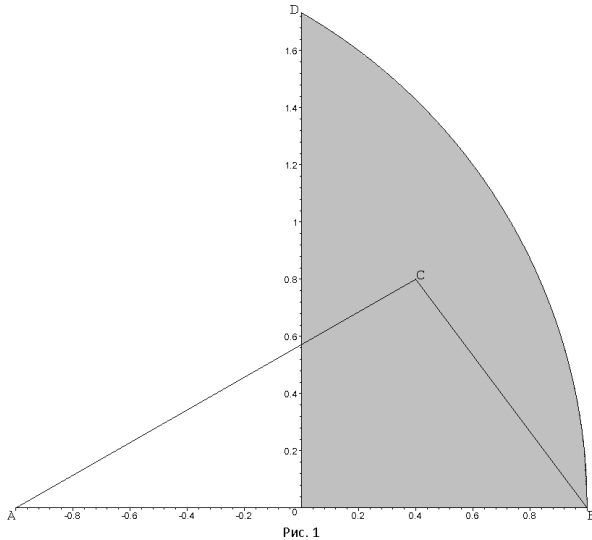


Рис. 1

Рассмотрим в координатной плоскости область, ограниченную осями координат и дугой окружности радиуса 2 с центром в точке  $A(-1; 0)$  (см. рис. 1). Каждому положению точки  $C$  внутри или боковых границах этой области соответствует треугольник  $ABC$ . Обратно, для любого треугольника найдется единственное положение точки  $C$  в данной области, такое, что треугольник  $ABC$  будет подобен исходному треугольнику. Если точка  $C$  принадлежит отрезку  $OB$ , то «треугольник»  $ABC$  – вырожденный.

В дальнейшем слово «единственный» по отношению к треугольникам будем употреблять в значении «единственный с точностью до подобия».

Проиллюстрируем предлагаемый нами подход на примере следующей задачи: «Существует ли треугольник, у которого радиус вписанной окружности и три радиуса внеписанных окружностей образуют геометрическую прогрессию?»

Условие  $r_a r_c = r_b^2$  задает соотношение между координатами вершины  $C$ . Соответствующее геометрическое место точек представляет собой некую кривую. На рис. 2 интересующий нас участок этой кривой ( $BD$ ) изображен синим цветом. Аналогично, условие  $r r_b = r_a^2$  выполняется для вершин, расположенных на кривой  $KL$ . Соответствующая система уравнений

$$\begin{cases} \frac{4y^2}{(\sqrt{x^2+2x+1+y^2}+2+\sqrt{x^2-2x+1+y^2})(\sqrt{x^2-2x+1+y^2}+2-\sqrt{x^2+2x+1+y^2})} = \frac{4y^2}{(\sqrt{x^2+2x+1+y^2}+2-\sqrt{x^2-2x+1+y^2})^2} \\ \frac{4y^2}{(\sqrt{x^2+2x+1+y^2}+2-\sqrt{x^2-2x+1+y^2})(\sqrt{x^2-2x+1+y^2}-2+\sqrt{x^2+2x+1+y^2})} = \frac{4y^2}{(\sqrt{x^2-2x+1+y^2}+2-\sqrt{x^2+2x+1+y^2})^2} \end{cases}$$

Имеет в рассматриваемой области единственное решение:

$$x_1 = 2 \left( \frac{\sqrt[3]{19+3\sqrt{33}}}{3} + \frac{4}{3\sqrt[3]{19+3\sqrt{33}}} - \frac{2}{3} \right)^2 - 1, \quad y_1 = \frac{2\sqrt{3}}{3} \sqrt{\frac{4\sqrt[3]{(19+3\sqrt{33})^2} - 3\sqrt[3]{(19+3\sqrt{33})^4} + \sqrt[3]{19+3\sqrt{33}} + 22 + 6\sqrt{33}}{3\sqrt[3]{(19+3\sqrt{33})^2}}}$$

Таким образом, существует единственный треугольник ( $ABC_1$  на рисунке 2), у которого радиус вписанной и три радиуса внеписанных окружностей образуют геометрическую прогрессию. Дополнительно оказалось, что  $x_1^2 + y_1^2 = 1$ , т.е. полученный треугольник прямоугольный.

Аналогично, кривые  $r_a + r_c = 2r_b$  (красная кривая на рис. 2) и  $r + r_b = 2r_a$  (кривая  $MN$  на рис. 2) имеют в рассматриваемой области единственную точку пересечения  $C_2$  с координатами  $x_2 = \frac{1}{3}$ ,  $y_2 = \frac{4}{3} \sqrt{2 \cos \frac{4\pi}{9} + 2 - 2 \cos \frac{2\pi}{9}}$ . Поэтому существует единственный треугольник ( $ABC_2$  на рис. 2), у которого радиус вписанной и три радиуса внеписанных окружностей образуют арифметическую прогрессию.

В первых двух задачах нам удалось найти точное решение рассматриваемых систем. При рассмотрении последующих задач найти точные координаты точек пересечения интересующих нас кривых удается не всегда. В таких случаях координаты найдены лишь приближенно, но

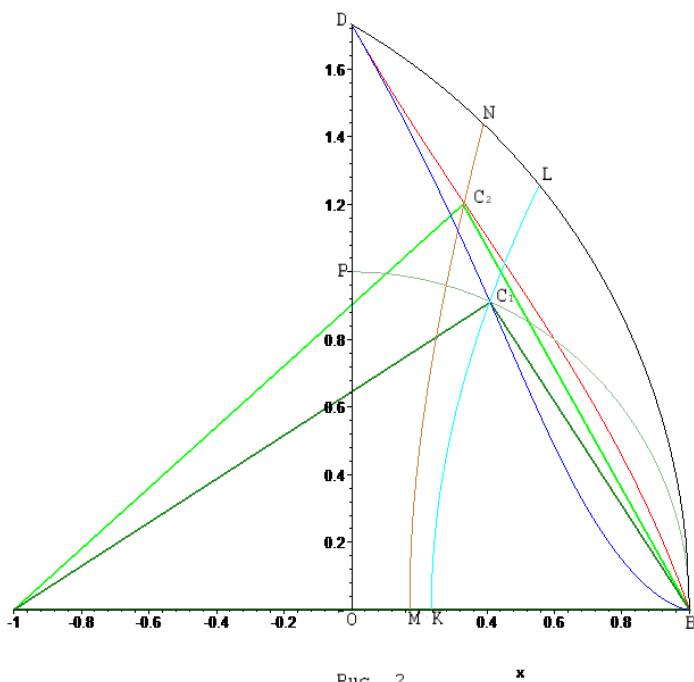


Рис. 2

наличие и количество точек пересечения удается определить точно, основываясь на свойствах непрерывных функций, методе Штурма и основной теореме алгебры многочленов.

Хорошо известно, что медианы любого треугольника удовлетворяют неравенству треугольника. Более того, площадь треугольника из медиан составляет  $\frac{3}{4}$  от площади исходного треугольника. Треугольник из биссектрис существует не для любого исходного треугольника. На рисунке 3 соответствующая область ограничена дугами  $OM$ ,  $MD$  и отрезком  $DO$ . Аналогично треугольник из высот исходного треугольника  $ABC$  существует, если точка  $C$  в области, ограниченной дугами  $KL$ ,  $LD$  и отрезками  $DO$  и  $OM$ . Кривая  $XY$  – геометрическое место точек  $C$  таких, что площадь тре-

угольника из биссектрис треугольника  $ABC$  составляет  $\frac{9}{16}$  от площади треугольника  $ABC$ . Кривая  $OP$  – геометрическое место точек  $C$  таких, что площадь треугольника из высот треугольника  $ABC$  составляет  $\frac{27}{64}$  от площади треугольника  $ABC$ . В рассматриваемой области эти кривые пересекаются в единственной точке  $C_3$ . Поэтому **существует единственный треугольник, у которого площадь исходного треугольника, площадь треугольника из медиан, площадь треугольника из биссектрис и площадь треугольника из высот образуют геометрическую прогрессию.**

Кривая  $UV$  – геометрическое место точек  $C$  таких, что площадь треугольника из биссектрис треугольника  $ABC$  составляет  $\frac{1}{2}$  от площади треугольника  $ABC$ . Кривая  $OQ$  – геометрическое место точек  $C$  таких, что площадь треугольника из высот треугольника  $ABC$  составляет  $\frac{1}{4}$  от площади треугольника  $ABC$ . В рассматриваемой области эти кривые пересекаются в единственной точке  $C_4$ . Таким образом, **существует единственный треугольник, у которого площадь исходного треугольника, площадь треугольника из медиан, площадь треугольника из биссектрис и площадь треугольника из высот образуют арифметическую прогрессию.**

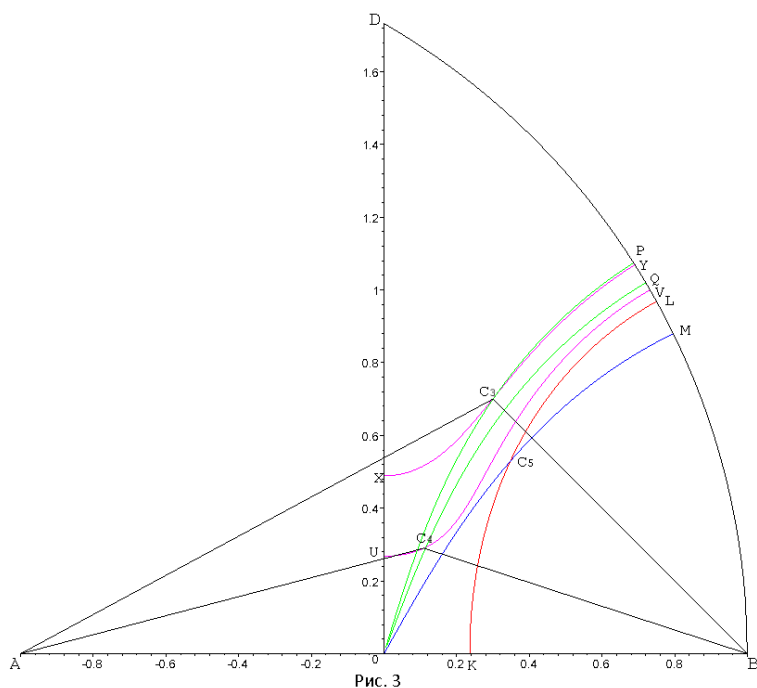


Рис. 3

Отметим, что существуют треугольники, у которых площадь треугольника из высот больше площади треугольника из биссектрис. Однако, не существует треугольников у которых площади треугольника, треугольника из медиан, треугольника из высот и треугольника из биссектрис, рассматриваемые в указанном порядке образуют арифметическую (геометрическую) прогрессию.

Из вышеизложенного дополнительно следует, что существуют треугольники у которых: существуют и треугольник из биссектрис, и треугольник из высот; существует только треугольник из биссектрис; существует только треугольник из высот; не суще-

стует ни треугольника из биссектрис, ни треугольника из высот. В частности, **существует единственный треугольник** (треугольник  $ABC_5$  на рисунке 4), у которого **одновременно сумма двух биссектрис равна третьей и сумма двух высот равна третьей**.

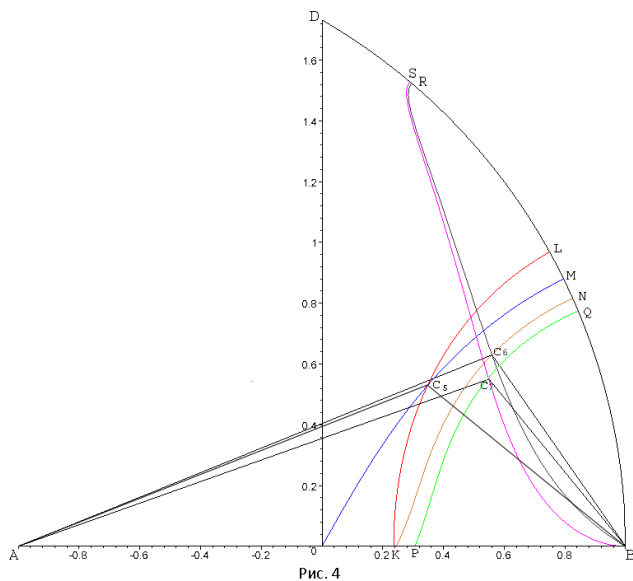


Рис. 4

Кривая  $KN$  на рисунке 4 – геометрическое место точек  $C$  таких, что квадрат периметра треугольника из медиан треугольника  $ABC$  равен произведению периметра  $ABC$  и суммы биссектрис треугольника  $ABC$ . Для точек кривой  $BR$  выполняется равенство квадрата суммы биссектрис треугольника  $ABC$  произведению сумм медиан и высот того же треугольника. Эти кривые пересекаются в точке  $C_6$ , которая попадает в область, для которой не существует треугольников из биссектрис и высот. Поэтому не существует треугольников, у которых периметр, периметр треугольника из медиан, треугольника из биссек-

трис и треугольника из высот образуют арифметическую прогрессию. В то же время, **существует единственный треугольник**, у которого **суммы сторон, медиан, биссектрис и высот образуют геометрическую прогрессию**.

Аналогично, **существует единственный треугольник** ( $ABC_7$  на рис. 4), у которого **суммы сторон, медиан, биссектрис и высот образуют геометрическую прогрессию**. У этого треугольника ни биссектрисы, ни высоты не удовлетворяют неравенству треугольника.

Если для данного треугольника существует треугольник из высот, то существует и треугольник из высот треугольника из высот и т. д. Это следует из того, что треугольник из высот треугольника из высот подобен исходному.

Иначе обстоит дело с треугольниками из биссектрис.

Если  $C$  лежит в области (0), то для треугольника  $ABC$  не существует треугольника биссектрис. Если  $C$  лежит в области (1), то для треугольника  $ABC$  существует треугольник биссектрис, но не существует треугольника из «вторых биссектрис». И т. д.

Бесконечно много треугольников из биссектрис, разумеется, существует для  $C = D$ .

$$\text{Если же } a < c, \text{ то } \frac{c}{a} < \frac{b_{bc}}{b_{ba}}.$$

Поэтому **при других  $C$  существует не более чем конечное число треугольников из биссектрис**. Так, для  $C(0; 1.72)$  последовательность треугольников из биссектрис обрывается на 50818-м шаге.

Пусть множество  $M = \{m_a, m_b, m_c, h_a, h_b, h_c, b_a, b_b, b_c\}$  в предположении, что  $a \leq b \leq c$ . Наша следующая задача – выяснить сколько элементов может быть в  $M$ . Эту задачу удобно решать одновременно с другой.

Будем считать, что два треугольника принадлежат к одному классу, если соответствующие им множества равномощны и одинаково упорядочены по возрастанию.

Мы хотим выяснить, на сколько классов разбивается множество всех треугольников при такой классификации.

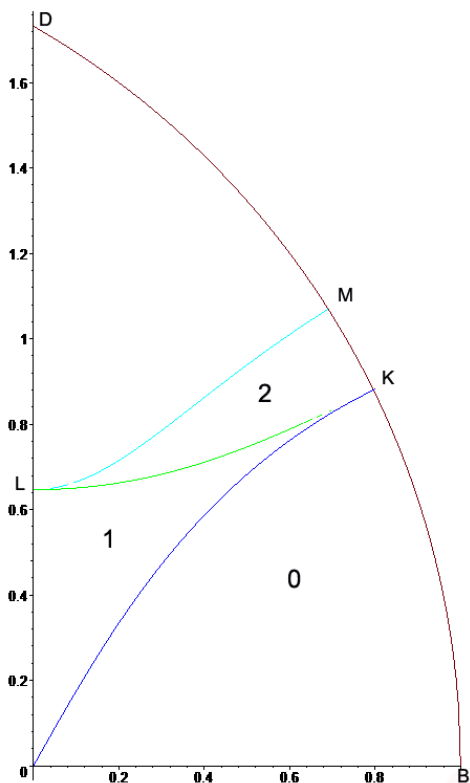


Рис. 5

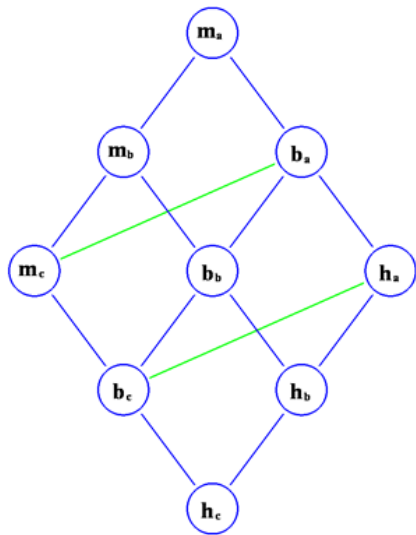


Рис. 6

Очевидны следующие соотношения:

$$h_a \leq b_a \leq m_a; \quad h_b \leq b_b \leq m_b; \quad h_c \leq b_c \leq m_c;$$

$$h_c \leq h_b \leq h_a; \quad b_c \leq b_b \leq b_a; \quad m_c \leq m_b \leq m_a.$$

Эти соотношения показаны синими линиями на рис. 6 (о зеленых линиях чуть позже). Для установления соотношений между  $b_c$  и  $h_b$ ;  $b_c$  и  $h_a$ ;  $m_c$  и  $h_b$ ;  $m_c$  и  $b_b$ ;  $m_c$  и  $h_a$ ;  $m_c$  и  $b_a$ ;  $b_b$  и  $h_a$ ;  $m_b$  и  $h_a$ ;  $m_b$  и  $b_a$  рассмотрим соответствующие равенства, как уравнения от координат точки  $C$ . В интересующей нас области эти уравнения будут задавать некоторые кривые. Чтобы не запутаться во множестве линий сделаем их разноцветными. То, что у нас получилось, представлено на рис. 7.

Первое, что бросается в глаза – отсутствие желтой и серой кривых. Это вызвано тем, что в любом треугольнике выполняются неравенства  $b_c \leq h_a$  и  $m_c \leq b_a$ . Докажем первое из этих неравенств.

$$b_c \leq h_a \Leftrightarrow b_c^2 \leq h_a^2 \Leftrightarrow \frac{p(p-c)ab}{(a+b)^2} \leq \frac{p(p-a)(p-b)(p-c)}{a^2} \Leftrightarrow 4a^3b \leq (a+b)^2(c+b-a)(c-b+a) \Leftrightarrow$$

$$4a^3b + a^4 + b^4 - 2a^2b^2 - a^2c^2 - b^2c^2 - 2abc^2 \leq 0 \Leftrightarrow a^2(a^2 - c^2) + b^2(b^2 - c^2) + 2a^2b(a-b) + 2ab(a^2 - c^2) \leq 0$$

Но последнее неравенство очевидно, поскольку каждое из слагаемых не положительно.

Второе неравенство доказывается аналогично.

По рисунку трудно определить, как ведут себя исследуемые кривые вблизи точки  $B$ , а также в тех местах, где они устремляются к  $D$  близкими курсами. Разумеется, картинка не может служить надежным обоснованием интересующего нас поведения кривых. Но мы можем выписать уравнения каждой кривой и исследовать их попарное взаимное расположение более надежными

методами. Мы проделали эту работу для всех сомнительных случаев. Детальный анализ показал, что интересующая нас область разбивается на 18 областей.

Особо отметим область №16: прежде чем вторично встретится в точке  $D$  голубая и золотистая кривые пересекаются в точке с координатами  $x \approx 0.4538925, y \approx 1.301219585$ .

Поведение кривых вблизи точки  $B$  можно разглядеть на рисунке 8.

Отмечу, что точка  $C_8$  это именно точка пересечения трех кривых, а не область (равенства  $m_c = b_b$  и  $b_b = h_a$  влекут  $m_c = h_a$ ).

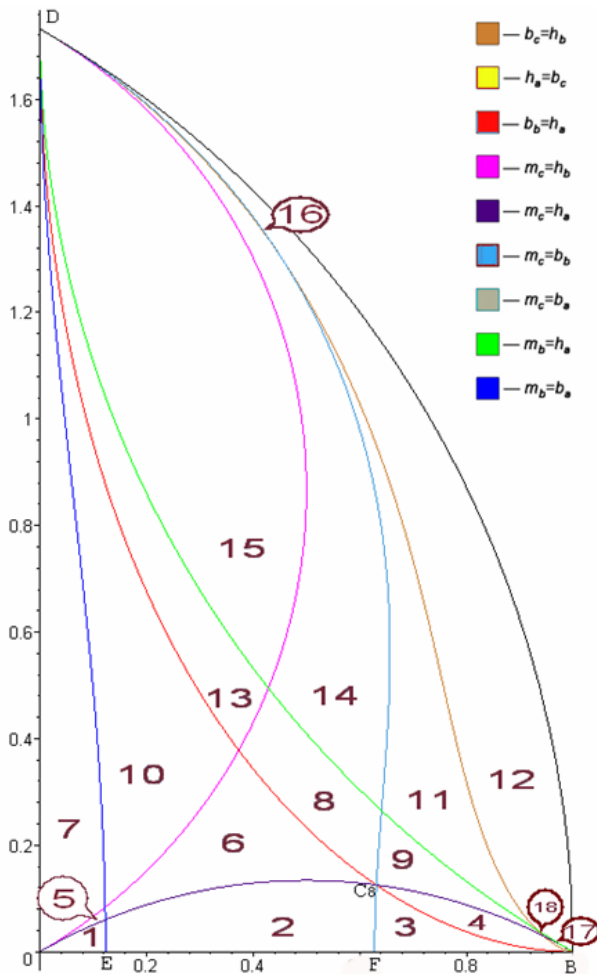


Рис. 7

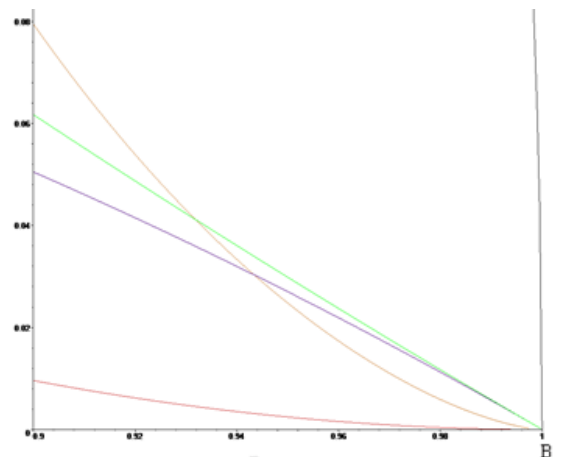


Рис. 8

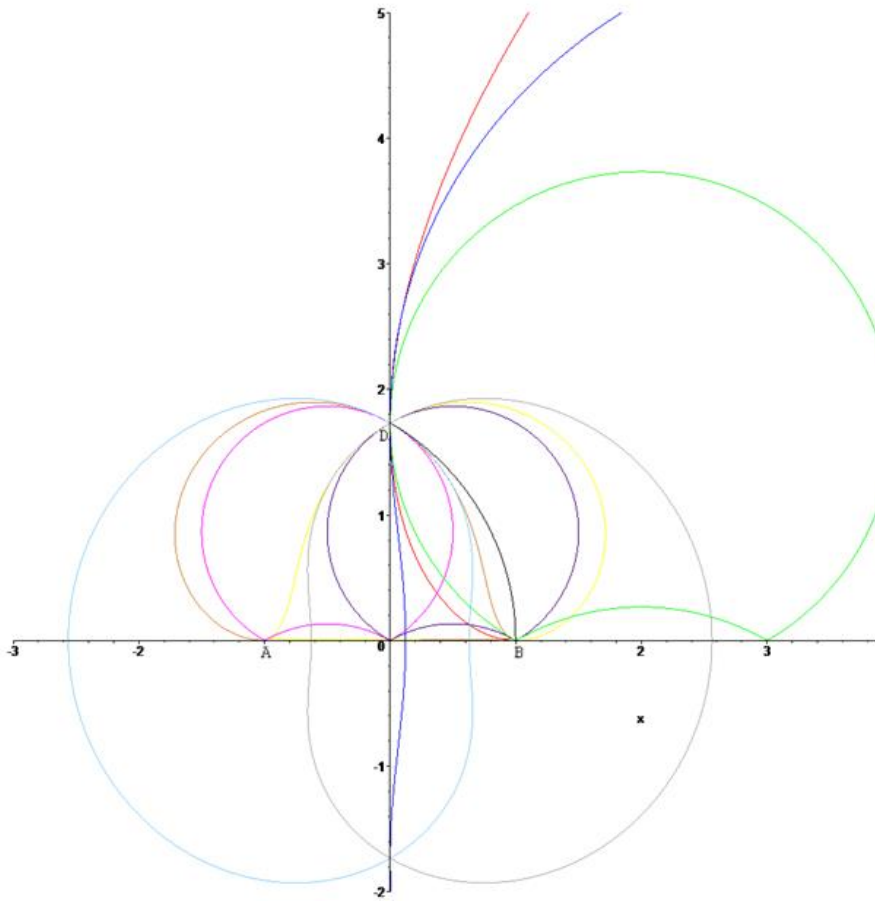


Рис. 9

На первый взгляд, темно-фиолетовая кривая ведет себя довольно странно. Ведь она не проходит через точку  $D$ , через которую обязаны проходить все 9 кривых, на самом деле, нет ничего странного. Это хорошо видно из рисунка 9, показывающего поведение рассматриваемых кривых за пределами изучаемой области. На этом же рисунке видны и две «пропавшие» кривые: желтая и серая.

Теперь мы в состоянии ответить на интересующие нас вопросы.

Если  $C$  – внутренняя точка любой из 18-и областей все 9 элементов множества  $\{m_a, m_b, m_c, b_a, b_b, b_c, h_a, h_b, h_c\}$  различны. Если  $C$  лежит на внутренней границе областей, то два и из девяти значений совпадают, и

$|M| = 8$ . Если  $C$  лежит на пересечении двух кривых внутри области, то совпадают две пары элементов и  $|M| = 7$ . Аналогично  $|M| = 7$ , если  $C = C_8$  (в этом случае  $m_a = b_b = h_c$ ).

Если  $C$  – внутренняя точка дуги  $BD$  или отрезка  $OD$  (т.е. треугольник  $ABC$  равнобедренный), то, очевидно,  $|M| = 4$ . Наконец, при  $C = D$  все девять элементов  $M$  равны между собой. Таким образом, количество элементов во множестве  $\{m_a, m_b, m_c, b_a, b_b, b_c, h_a, h_b, h_c\}$  может быть равно одному из чисел 1, 4, 7, 8, 9.

Если допустить к рассмотрению вырожденные треугольники, то  $|M|$  может принимать еще несколько значений. Если  $C$  – внутренняя точка отрезка  $OB$ , отличная от  $E$  и  $F$ , то все высоты и биссектриса  $b_c$  (учтем, она делит противоположную сторону в отношении прилежащих) равны 0, остальные величины попарно различны. Поэтому  $|M| = 6$ . Если  $C = F$  ( $C = E$ ), то совпадают еще  $m_c$  с  $b_b$  ( $m_b$  с  $b_a$ ) и  $|M| = 5$ . Если  $C$  совпадает  $O$ , то  $m_a = m_b$ ,  $b_a = b_b$ , а остальные значения равны 0 и  $|M| = 3$ . Наконец, если  $C$  совпадает с  $B$ , то  $m_a = b_a = h_a$ , (поскольку треугольник равнобедренный)  $m_b = m_c$ , а остальные величины равны 0 и  $|M|$  опять равно 3. Окончательно получаем 8 возможных значений  $|M|$ : 1, 3, 4, 5, 6, 7, 8, 9.

Для рассмотрения возможных упорядочиваний  $M$  заметим, что:

- $m_b < b_a$  справа от синей линии;
- $m_b < h_a$  справа от зеленой линии;
- $m_c < b_b$  слева от голубой линии;
- $m_c < h_a$  сверху от темно-фиолетовой линии;
- $m_c < h_b$  слева от сиреневой линии;
- $b_b < h_a$  справа от красной линии;
- $b_c < h_b$  слева от золотой линии.

С учетом этих неравенств получаем 18 (по числу областей) возможных упорядочиваний множества  $M$  в случае, когда в нем 9 элементов:

1.  $h_c < b_c < h_b < h_a < m_c < b_b < b_a < m_b < m_a$
2.  $h_c < b_c < h_b < h_a < m_c < b_b < m_b < b_a < m_a$
3.  $h_c < b_c < h_b < h_a < b_b < m_c < m_b < b_a < m_a$

4.  $h_c < b_c < h_b < b_b < h_a < m_c < m_b < b_a < m_a$
5.  $h_c < b_c < h_b < m_c < h_a < b_b < b_a < m_b < m_a$
6.  $h_c < b_c < h_b < m_c < h_a < b_b < m_b < b_a < m_a$
7.  $h_c < b_c < m_c < h_b < h_a < b_b < b_a < m_b < m_a$
8.  $h_c < b_c < h_b < m_c < b_b < h_a < m_b < b_a < m_a$
9.  $h_c < b_c < h_b < b_b < m_c < h_a < m_b < b_a < m_a$
10.  $h_c < b_c < m_c < h_b < h_a < b_b < m_b < b_a < m_a$
11.  $h_c < b_c < h_b < b_b < m_c < m_b < h_a < b_a < m_a$
12.  $h_c < h_b < b_c < b_b < m_c < m_b < h_a < b_a < m_a$
13.  $h_c < b_c < m_c < h_b < b_b < h_a < m_b < b_a < m_a$
14.  $h_c < b_c < h_b < m_c < b_b < m_b < h_a < b_a < m_a$
15.  $h_c < b_c < m_c < h_b < b_b < m_b < h_a < b_a < m_a$
16.  $h_c < h_b < l_c < m_c < l_b < m_b < h_a < l_a < m_a$
17.  $h_c < h_b < l_c < l_b < h_a < m_c < m_b < l_a < m_a$
18.  $h_c < h_b < l_c < l_b < m_c < h_a < m_b < l_a < m_a$

Располагая  $C$  во внутренних точках участков внутренних границ 18-и областей, получим 26 упорядочиваний  $M$  в случае, когда в нем 8 элементов (каждое получается из двух упорядочиваний 9-го множества, отличающихся транспозицией соседних элементов, объединением этих элементов в один). 9 упорядочиваний получается в случае, когда  $|M| = 7$  и  $C$  совпадает с одной из точек пересечения кривых, разбивающих рассматриваемую область на 18 частей. Еще два упорядочивания возникают, когда треугольник  $ABC$  равнобедренный (когда  $C$  – внутренняя точка дуги  $BD$  либо отрезка  $OB$ ). Последний случай для невырожденных треугольников –  $C = D$ . Итого  $18 + 26 + 9 + 2 + 1 = 56$  вариантов упорядочивания для невырожденных треугольников.

Для вырожденных треугольников возможны еще 7 случаев упорядочивания: 3, когда  $C$  является внутренней точкой отрезков  $OE$ ,  $EF$  или  $FB$ ; 4, когда  $C$  совпадает с одной из точек  $O$ ,  $E$ ,  $F$ ,  $B$ . Итого  $56 + 7 = 63$  упорядочивания (или 62, если исключить из рассмотрения случай,  $C = B$ , когда вершины не просто лежат на одной прямой, но и совпадают).

Отметим, что попутно мы получили еще один интересный результат: **существует единственный разносторонний треугольник  $(ABC_2)$ , у которого большая высота, средняя биссектриса и меньшая медиана равны между собой.**

Предлагаемый подход позволяет решать и другие подобные задачи.